

Hefetz

1968

He H<sub>2</sub>

++

71152g Potential energy surfaces for linear HeH<sub>2</sub><sup>++</sup>. Zetik,  
Donald F. (Univ. of Texas, Austin, Tex.). 1968, 124 pp. (Eng).  
Avail. Univ. Microfilms, Ann Arbor, Mich., Order No. 68-16,165.  
From Diss. Abstr. B 1968, 29(6), 2012. SNDC

no entry.

no entry

C.A. 1969. 70. 16

1969

paper 20, D, 21: ( $\text{BeH}_2^+$ ,  $\text{LiHeH}^+$ ,  $\text{He}_3^+$ ,  
 $\text{LiH}_3^+$ ,  $\text{LiH}_2^+$ ,  $\text{HeH}_3^+$ ,  $\text{H}_2\text{H}^+$ ,  
 $\text{H}_5^+$ ,  $\text{HeH}_2^+$ ,  $\text{H}_3^+$ )

IX 2252  
 Posch et al R.D., Haugen J.A., Zetkin D.F.,

J Chem. Phys., 1969, 51, w 8, 3343-3357 (aun).

Ab initio predictions for very small  
 ions. ( $\text{Cd}\cdot \text{BeH}_2^+$ ) (II)

Pugay, 1970, 4D.116

W 48 12

HeH<sub>2</sub>H<sup>+</sup>

XI-161

1970

H He H<sup>+</sup>

114941z Hydrogen bonding of H<sub>2</sub><sup>+</sup> to the helium atom: energy surface for linear HeH<sub>2</sub><sup>+</sup>. Edmiston, C.; Doolittle, J.; Murphy, K.; Tang, K. C.; Willson, W. (Dep. of Chem., Univ. of Wyoming, Laramie, Wyo.). *J. Chem. Phys.* 1970, 52(7), 3419-24 (Eng). By using pseudonatural orbitals as a basis for the superposition of configurations (SOC), the authors have calcd. the adiabatic potential energy surfaces of linear HeHH<sup>+</sup> and HHeH<sup>+</sup>. Except for the different basis set of Gaussian functions used, these calcns. were carried out identically to one reported earlier for linear H<sub>3</sub>. HeHH<sup>+</sup> has a potential energy min. about 5 kcal deep for R<sub>H<sub>2</sub>H</sub> ≈ 2.0 at. units, and R<sub>HH</sub> ≈ 2.0 at. units. This "H bonding" effect is given by the Hartree-Fock results and is little changed by SOC. HHeH<sup>+</sup> has a high potential energy barrier of about 25 kcal for the symmetric complex, R<sub>HH<sub>2</sub></sub> = R<sub>H<sub>2</sub>H</sub> ≈ 2.1 at. units.

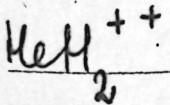
RCJQ

no exp. no key  
measured;

25  
cpl - pa

ub. Mex. Isaac

C. A. 1970.72.22



1970

note page.  
no entry.  
see page

- 7354j Ab initio potential surfaces of HeH<sub>2</sub><sup>++</sup>. Zetik, Donald F.; Poshusta, R. D. (Dep. of Chem., Univ. of Texas, Austin, Tex.). *J. Chem. Phys.* 1970, 52(9), 4920-1 (Eng). Potential energy contours were obtained for the reactions (1) H<sup>+</sup> + HeH<sup>+</sup>  $\rightleftharpoons$  HHe<sup>+</sup> + H<sup>+</sup>, and (2) He<sup>+</sup> + H<sub>2</sub><sup>+</sup>  $\rightleftharpoons$  HeH<sup>+</sup> + H<sup>+</sup>, using ab initio calcns. The activation energies for these reactions are 6.5 and 4.1 eV, resp. The computed curve of HeH<sup>+</sup>, when compared with the exact curve shows a gradual decrease in error from 0.074 at. units at  $R = \infty$  to 0.050 at. units at  $R = 0$ . The computed H<sub>2</sub><sup>+</sup> curve differs from the exact curve by 0.020 at. units from  $R = \infty$  to  $R = 1.0$ , where the error begins to increase to 0.057 at. units at  $R = 0$ .

BGJN

C.A.1970.83.2



Hg He<sup>+</sup>

1980

Cp-pa,

(123735h) Theoretical study of binding energy in the  $\text{H}_2\text{He}^+$  system. Cirule, Z.; Posiunaite, N.; Bolotin, A. B. (Latv. Gos. Univ. im. Stucki, Riga, USSR). *Zh. Strukt. Khim.* 1970, 11(4), 722-6 (Russ). The wave-mech. calcns. lead to the conclusion that both linear and trigonal structures of the  $\text{H}_2\text{He}^+$  ion are possible. The stability of the linear structure was more pronounced according to the calcns.

Zdenek Jerman

C.A. 1980 83:24

$\text{HeH}_2^{2+}$

1970

9 Д146. Потенциальные поверхности для  $\text{HeH}_2^{2+}$ , рассчитанные неэмпирическим методом. Zetik D. F., Poshusta R. D. Ab initio potential surfaces of  $\text{HeH}_2^{2+}$ . «J. Chem. Phys.», 1970, 52, № 9, 4920—4921 (англ.)

Проведен неэмпирический расчет  $\text{HeH}_2^{2+}$ . Волнистая функция была образована 16 взаимодействующими конфигурациями, построенными из 7 гауссовских орбиталей, 3 из которых центрированы на ядре Не, а 4 плавающих орбитали центрированы вблизи 2 водородных ядер. Орбитальные экспоненты масштабировались и частично оптимизировались для каждой ядерной конфигурации. Приведены и кратко обсуждены поверхности потенциальной энергии для реакций  $\text{H}^+ + \text{HeH}^+ \rightleftharpoons \text{HHe}^+ + \text{H}^+$  и  $\text{He}^+ + \text{H}_2^+ \rightleftharpoons \text{HeH}^+ + \text{H}^+$ . Энергии активации оценены в 6,5 и 4,1 эВ соответственно. Температура второй реакции найдена равной 9,1 эВ (точное значение 9,5 эВ).  
Б. Л. Лебедев

III

Ф. 1970. 9D

(H) I



$H_2^+$ -He

XI-1220

1970

З Б86. Теоретическое исследование энергии связи в системе  $H_2^+$ -He. Цирул З. Я., Пощюнайте Н. П., Болотин А. Б. «Ж. структурн. химии», 1970, 11, № 4, 722-726

геометр.  
конфигур.

Исследована зависимость энергии связи в молекуле  $H_2^+$ -He от расстояний и углов. Установлены две возможные геометрич. конфигурации: треугольная и линейная.

Резюме

X. 1971. 3

HeH<sub>2</sub><sup>+</sup>

XI-1854

1971

1 Д127. Неэмпирические расчеты энергетической поверхности для линейного иона HeH<sub>2</sub><sup>+</sup> по методу ССП МО ЛКАО. Brown Peter J., Hayes Edward F. Nonempirical LCAO-MO-SCF study of the energy surface for linear HeH<sub>2</sub><sup>+</sup>. «J. Chem. Phys.», 1971, 55, № 2, 922—926 (англ.)

СВ-мех  
расчет

Неэмпирическим методом ССП МО ЛКАО в сжатом гауссовом базисе получена потенц. поверхность для наиболее стабильной (по данным авторов) — линейной — формы системы HeH<sub>2</sub><sup>+</sup>. Обнаружен минимум, соответствующий комплексу HeH<sub>2</sub> ( $R(H-H)=R(He-H)=2$  ат. ед.). Вид потенц. поверхности позволяет объяснить результаты исследования реакции H<sub>2</sub><sup>+</sup>+He=HeH<sup>+</sup>+H, сечение которой сильно зависит от колебательного состояния иона H<sub>2</sub><sup>+</sup>.

В. И. Барановский

9, 1972, 19

$\text{HeH}_2^+$

XI-1854

1971

24 Б25. Неэмпирический расчет поверхности энергии для линейной системы  $\text{HeH}_2^+$  методом ЛКАО МО ССП.  
Brown Peter J., Hayes Edward F., Nonempirical LCAO-MO-SCF study of the energy surface for linear  $\text{HeH}_2^+$ . «J. Chem. Phys.», 1971, 55, № 2, 922—926  
(англ.)

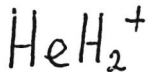
расчет  
поверхн.  
первой

Методом ЛКАО МО с учетом самосогласования в рамках ограниченного метода открытых оболочек рассчитана поверхность потенциальной энергии линейной системы  $\text{HeH}_2^+$ . В кач-ве АО использовались гауссовые функции  $s$ - и  $p$ -симметрии, центрированные на ядрах Не и Н. Исходные линейные комбинации АО и параметры экспонент определялись из условия наилучшего приближения энергии разъединенных систем Не и  $\text{H}_2$  к соответствующим хартрифоковским значениям. Поверхность потенциальной энергии обладает минимумом в конфигура-

X.1971.24

ции  $R_{\text{He}-\text{H}} = R_{\text{H}_2 \text{H}} = 2$  ат. ед. и глубиной потенциальной ямы около 3,5 ккал/моль. Подъем поверхности в эндо-термич. направлении р-ции  $\text{H}_2^+ + \text{He} \rightarrow \text{HeH}^+ + \text{H}$  начинается после поворота пути р-ции. Это обстоятельство объясняет сильную зависимость сечения указанной р-ции от номера колебательного уровня иона  $\text{H}_2^+$ . Вариация волновой функции и исключение из базисного набора р-ОА показывает, что образование устойчивого комплекса обязательно поляризации электронной оболочки в поле иона.

Е. Е. Никитин



1972

-/169040p Use of the method of diatomics-in-molecules in fitting ab initio potential surfaces. System  $\text{HeH}_2^+$ . Kuntz, P. J. (Theor. Chem. Inst., Univ. Wisconsin, Madison, Wis.). *Chem. Phys. Lett.* 1972, 16(3), 581-3 (Eng). An illustration is presented of how a semi-empirical method can be used to represent a potential energy surface obtained from an ab initio calcn. A simple equation derived from the diatomics-in-mols. (DIM) formalism is fit to an ab initio collinear potential surface for  $\underline{\text{HeH}_2^+}$ , and the resulting potential function is used to construct a surface for non-linear geometries.

Kb.  
Mex.  
jaeger

C.A. 1972, 77, n26

1974

He H<sub>2</sub><sup>+</sup>Aubert III.Bessis N. et al.

paerem  
mauxys.

Phys. Rev. A: Gen. Phys. 1974,  
10, N1, 51-60 (ann.).

(see H<sub>2</sub><sup>+</sup>; III)

$\text{He}_2^+$ ,  $\text{He H}^+$ ,  $\text{H}_3^+$ ,  $\text{He H}$ ,  $\text{He}_2^+$  <sup>-1974</sup>  
 $\text{Li H}^+$ ,  $(\text{He H}_2)^+$ ,  $\text{H}_4^+$  (ib. ex. j. packer.  
re, do)

Blustin P.H., Linnet J.W.,  
Y Cheui. Soe. Faraday Trans.  
Part 2., 1974, 70(2), 327-38

10

7

ECT6 Q.K

50627.2419

Ch, Ph, TC

40892



1975

4119

Chapman Frank M., Jr., Hayes Edward F.

Resonances in the collinear inelastic scattering of He by  $\text{H}_2^+$  below the reaction threshold. "J. Chem. Phys.", 1975, 62,

№ 11, 4400-4403

0396 пик

(англ.)

370 374

382

ВИНИТИ

60202.6643

96201

1976

Ch, Ph, TC, MGU

 $\text{NeH}_2^+$ 

3773

Bolotin A.B., Bugaets O.P., Zhogolev D.A.  
 Theoretical studies on stability of  
 $\text{NeH}_2^+$  and  $\text{HeH}_2^+$  ions. "Chem. Phys.  
 Lett.", 1976, 37, N 1, 9-12

(см.  $\text{NeH}_2^+$ ; 17)

(англ.)

526 527 5.4.4

ВИНИТИ

+  
B9-5066-XI

1976

H<sub>2</sub>-He

10 Д78. Неэмпирический расчет молекулы H<sub>2</sub><sup>+</sup>He-  
Пошюнайте Н. П., Жоголев Д. А., Зур-  
ба В. Б., Болотин А. Б. «Liet. fiz. rinkinys, Лит.  
физ. сб.», 1976, 16, № 1, 79—83 (рез. лит., англ.)

*Кв. исх.  
расчет*

Путем неэмпирич. расчета по методу ССП МО ЛКАО  
в базисе линейных комбинаций безузловых гауссовых  
ф-ций исследована зависимость полной энергии систе-  
мы H<sub>2</sub><sup>+</sup>He от расстояний между атомами и геометрич.  
конфигурации с использованием различных наборов  
базисных ф-ций и слэтеровских экспонент. Установлена  
возможность стабильности молекулы H<sub>2</sub><sup>+</sup>He, определе-  
ны равновесные расстояния и геометрич. конфигурация,  
а также соответствующие им энергии связи. Автореф.

Ф. 1976

№ 10

$H_2^+ He$

ВР - 5066 - XI

1976

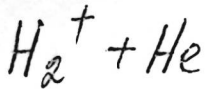
20 Б45. Неэмпирический расчет молекулы  $H_2^+ He$ .  
Пошюнайте Н. П., Жоголев Д. А., Зурба В. Б.,  
Болотин А. Б. «Liet. fiz. rinkinys, Лит. физ. сб.»,  
1976, 16, № 1, 79—83 (рез., лит., англ.)

Путем неэмпирич. расчета по методу ССП МО ЛКАО  
в базисе линейных комбинаций безузловых гауссовых  
функций исследована зависимость полной энергии си-  
стемы  $H_2^+ He$  от расстояний между атомами и геомет-  
рич. конфигурации; использованы различные наборы ба-  
зисных функций и значения слайтеровских экспонент.  
Установлена возможность стабильности молекулы  
 $H_2^+ He$ , определены ее равновесные расстояния и гео-  
метрич. конфигурация, а также соотв-щие им энергии  
связи.

Автореферат

Кб. ее ж.  
част

Х, 1978, № 20.



YIS-16510

1976

86: 60758p Test of the  $\text{H}_2^+ + \text{He}$  interaction potential. Comparison of the interactions of helium with  $\text{H}^+$ ,  $\text{H}_2^+$  and  $\text{H}_3^+$ . Viehland, L. A.; Mason, E. A.; Stevens, T. H.; Monchick, L. (Brown Univ., Providence, R. I.). *Chem. Phys. Lett.* 1976, 44(2), 360-2 (Eng). Gaseous ion mobility data are used to test theor. potentials for  $\text{H}_2^+ + \text{He}$  at large sepn. distances. Agreement with ab initio calcs. is good, but significant discrepancy with recent diatomics-in-mols. calcs. is found. Mobility data are also used to calc. the spherically-averaged  $\text{H}_3^+ + \text{He}$  potential, which is compared with  $\text{H}_2^+ + \text{He}$  and an ab initio  $\text{H}^+ + \text{He}$  calcs.

*homework  
Kubas*

C.A. 1977. 86. N10

$H_2 + He$

#45 - 18334

1977

поверхн.  
потенциал  
энергии

19 Б1179. Хемионизация молекулы водорода атомами  $He(2^3S)$  и  $He(2^1S)$ . Потенциальные поверхности, автоионизационные ширины и сечения. Cohen James S., Lane Neal F. Chemiionization of the hydrogen molecule by  $He(2^3S)$  and  $He(2^1S)$  atoms: potential surfaces, autoionization widths, and cross sections. «J. Chem. Phys.», 1977, 66, № 2, 586—597 (англ.)

Методом стабилизации (выбором стабилизованных собственных значений энергетич. матрицы, лежащих выше порога ионизации) рассчитаны поверхности потенциальной энергии систем  $H_2 + He$  для двух состояний возбужденного гелия —  $2^3S$  и  $2^1S$ . Молек. функция строилась в приближении валентных схем на базисе однокомплексных АО. Набор 9 учтенных состояний оказался достаточным для удовлетворительного воспроизведения поляризуемости  $H_2$  и описания состояний отриц. иона

Х. 1977 № 19

$\text{H}_2^-$  с возбуждением остова. Расчет проведен при фиксированном расстоянии  $\text{H}-\text{H}$  и различных углах  $\theta$  между молек. осью и линией столкновения. Для всех  $\theta$  взаимодействие  $\text{H}_2-\text{He}$  отвечает отталкиванию за исключением больших расстояний, где проявляется вандер-ваальсово притяжение. Ширины электронных адиабатических термов рассчитаны в рамках теории возмущений, и совместно с потенциалом использованы для формулировки задачи рассеяния на комплексном потенциале.

Оценено полное сечение ионизации и показано, что вследствие его сильной зависимости от энергии эксперименты в условиях пучков и послесвечения могут приводить к различным эффективностям хемоионизации  $\text{H}_2$ . По мере возрастания энергии вероятность ионизации при столкновении с  $\text{He}(2^1S)$  растет быстрее, чем при столкновении с  $\text{He}(2^3S)$ .

Е. Е. Никитин

He - H<sub>2</sub>

1974

40 Д270. Расчеты поверхности потенциальной энергии He-H<sub>2</sub> в расширенной области расстояний. Raczkowski Andrew W., Lester William A., Jr. Extension of a He-H<sub>2</sub> potential energy surface. «Chem. Phys. Lett.», 1977, 47, № 1, 45—49 (англ.)

Расчеты ССП — КВ Тзаплине и Кутцельнига (РЖФиз, 1974, 5Д185) потенц. поверхности (ПП) He-H<sub>2</sub> расширены на область более близких расстояний. В расчете учитывались все однократно и двукратно возбужденные конфигурации. Обсуждается применение различных базисов в данных расчетах, на малых расстояниях применялся несколько уменьшенный базис, поскольку взаимодействие в этой области в основном определяется отталкивательным ССП термом, а корреляц. эффекты относительно малы. Получено аналитич-

1974-08-11  
1974-08-12  
1974-08-13  
1974-08-14

1974 № 10

выражение для ПП в координатах  $R$  — (расстояние He—H<sub>2</sub>)  $r$  — (расстояние в H<sub>2</sub>),  $\gamma$  — угол взаимной ориентации этих направлений, в форме ряда по полиномам Лежандра от  $\cos \gamma$ . Область применимости разложения  $1,0 < r < 1,8$  ат. ед., 1,8 ат. ед.  $< R < \infty$ , однако коэф. рассчитаны для более широкой области, что позволяет провести интерполяцию в область  $0,5 < r < 2,5$  ат. ед.,  $R \geq r/2 + 1$ .

Г. М. Жидомиров

$\text{HeH}_2^+$

1978

12 Б93. Электронная структура  $\text{HeH}_2^+$ . Норрел  
Dargel G. The electronic structure of  $\text{HeH}_2^+$ . «Int. J.  
Quantum Chem.», 1978, Quantum Biol. Symp. № 12,  
305—322 (англ.)

Многоконфигурационным методом самосогласованного поля с последующим учетом конфигурац. взаимодействия рассчитаны энергии основного и ряда возбужденных состояний системы  $\text{HeH}_2^+$  в геометрич. конфигурациях симметрии  $C_{2v}$ ,  $C_s$  и  $C_{\infty v}$ . Вычисления проведены со стандартным двухэкспонентным базисом  $4s2p$ , дополненным в зависимости от электронного состояния либо оптимизированными  $p$ -функциями на каждом центре, либо  $s$ - и  $p$ -функциями. Для основного состояния  $X^2\Sigma^+(1^2A^1)$  приведены результаты расчетов равновесных геометрич. параметров, гармонич. силовых постоянных, частот колебаний и дипольного момента. Погрешности вычислений оцениваются в 0,01 ат. ед. для межъядерных расстояний, 0,027 эв для энергий диссо-

Электрофор.  
Симметрия

Х. 1978, № 12

циации (на всевозможные фрагменты), 0,04 мдн/А для силовых постоянных. Детально проанализированы вклады корреляц. энергии в полную энергию основного состояния. Расчеты вертикальных энергий возбуждения проведены для состояний  $2^2\Sigma^+$ ,  $3^2\Sigma^+$ ,  $n^2\Sigma^+$ ,  $1^2\pi$ ,  $1^4\Sigma^+$  и  $1^4\pi$ . Найдено, что возбужденные состояния в системе  $\text{HeH}_2^+$  существенно отделены от основного. Энергия возбуждения в ближайшее состояние  $2^2\Sigma^+$  составляет 12,4 эв. Отмечено, что волновые функции  $\Sigma$ -состояний являются валентными, а  $\pi$ -состояний — ридберговыми.

А. В. Немухин

врач  
Вел.

$\text{HeH}_2^+$

7 Д129. Электронная структура  $\text{HeH}_2^+$ . Норрел  
 Darrel G. The electronic structure of  $\text{HeH}_2^+$ . «Int. J.  
 Quantum Chem.», 1978, Quantum Biol. Symp. № 12,  
 305—322 (англ.)

1978

Методом конфигурационного взаимодействия на базе MO, полученных многоконфигурационным методом ССП, рассчитана потенц. поверхность основного состояния  $X^2\Sigma^+$  молекулярного иона  $\text{HeH}_2^+$ . Базис АО включал набор сгруппированных гауссовых ф-ций  $[4s2p]$ , дополненный ф-циями типов  $s$  и  $p$  со специально оптимизированными для данного расчета экспонентами. Получены следующие характеристики состояния  $X^2\Sigma^+$ : равновесная геометрия ( $R_{\text{ни}}=2,085$  ат. ед.,  $R_{\text{ниHe}}=1,988$  ат. ед.), частоты норм. колебаний ( $v_1=828 \text{ см}^{-1}$ ,  $v_2=377 \text{ см}^{-1}$ ,  $v_3=2211 \text{ см}^{-1}$ ), энергии диссоциации  $D_e(\text{He}-\text{H}_2^+)=0,01002$  ат. ед.,  $D_e(\text{H}-\text{HHe}^+)=0,03779$  ат. ед.,  $D_e(\text{H}-\text{H}^+-\text{He})=0,1144$  ат. ед. и дипольный момент (1,403 ед. Дебая). Для межъядерных расстояний  $R_{\text{ни}}=R_{\text{ниHe}}=2$  ат. ед. рассчитаны энергии вертикальных возбуждений. При этой геометрии первое возбужденное состояние  $2^2\Sigma^+$  лежит на расстоянии 12,4 эв от основного состояния  $3^2\Sigma^+$ ,  $1^2\Pi$ ,  $1^4\Sigma$  и  $1^4\Pi$  расположены соответственно на 1,6; 3,8; 7,1 и 11,2 эв выше состояния  $2^2\Sigma^+$ .

А. Дементьев

Экспер.  
старший

РГДФУ,  
1979  
N 4



1979

11 Д161. Неэмпирические дискретные электронные поверхности потенциальной энергии для дублетных основного и низших возбужденных состояний  $\text{HeH}_2^+$ . McLaughlin Donald R., Thompson Donald L. Ground- and lower excited-state discrete ab initio electronic potential-energy surfaces for doublet  $\text{HeH}_2^+$ . «J. Chem. Phys.», 1979, 70, № 6, 2748—2769 (англ.)

$E_{ij} M.N$

Представлены результаты расчетов поверхностей потенц. энергии системы  $\text{HeH}_2^+$  (симметрия  $C_s$ ) для четырех низших состояний типа  ${}^2A_1'$ . Расчеты, охватывающие 596 точек в молекулярном конфигурац. пространстве, производились методом КВ с использованием двух гауссовых базисов: один предназначен для расчета основного состояния (главное квантовое число  $n=1$ ), а второй дополнен диффузными ф-циями, описывающими орбитали с  $n=2$ . Матрица КВ включала лишь основные конфигурации, отобранные по теории возмущений, соответствующие одно-, дву- и трехкратным возбуждениям из 46 исходных базисных конфигураций. Оценены ошибки в расчете энергии как абсолютные ( $5$  и  $10 \cdot 10^{-3}$  ат. ед. для основного и возбужденных состояний соответственно), так и относительные ( $2-3 \cdot 10^{-3}$  ат. ед.).

В. И. Барановский

Ф. 1649 N 11

$\text{HeH}_2^+$

1979

Pindorjast Phil,  
et al.

J. Chem. Phys., 1979, V1,  
N1, 184-28

successive  
approximations

coll. H<sub>2</sub>O - III

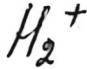
1979



noncyclic  
nobreak.

92: 475-18q Approximate diatomics-in-molecules potential energy surfaces and nonadiabatic coupling for  $\text{He}^+ + \text{H}_2$ . Schneider, F.; Zuelicke, L. (Cent. Inst. of Phys. Chem., Ger. Acad. Sci., DDR 1199 Berlin-Adlershof, Ger. Dem. Rep.). *Chem. Phys. Lett.* 1979, 67(2-3), 491-7 (Eng). The DIM method is used to generate approx. 3D potential energy hypersurfaces and nonadiabatic coupling coeffs. for the system  $(\text{HeHH})^+$ . In redn. of the size of the matrixes, a heuristic truncation of the basis set is proposed. The resulting potentials for the 2 lowest excited electronic states are discussed with respect to inelastic scattering and dissociative charge transfer in collisions of  $\text{He}^+ + \text{H}_2$ .

C.A. 1980. GLN/6



поверхн.  
пот. эмисс.

(+) □

X. 1981 № 9

9 Б31. Расчет многоконфигурационным методом самосогласованного поля поляризационного состояния  $2^2A_1(2\Sigma^+)$  иона  $\text{HeH}_2^+$ . Радиационный механизм получения  $\text{H}_2^+$  при тепловых столкновениях  $\text{He}^+ + \text{H}_2$ . Норринг Даггел Г. An MCSCF characterization of the  $\text{HeH}_2^+$   $2^2A_1(2\Sigma^+)$  polarization state. A radiative mechanism for the production of  $\text{H}_2^+$  from thermal  $\text{He}^+ + \text{H}_2$  collisions. «J. Chem. Phys.», 1980, 73, № 7, 3289—3293 (англ.)

Многоконфигурационным методом самосогласованного поля (МК ССП) выполнены расчеты Пв потенциальной энергии заряженной системы  $\text{He}-\text{H}_2^+$  при приближении иона  $\text{He}^+(1^2S)$  к молекуле  $\text{H}_2(X^1\Sigma_g^+)$  с симметрией всей системы  $C_{2v}$  и  $C_{\infty v}$ . Для анализа рассмотренного состояния  $2^2A_1(2^2A^1, 2^2\Sigma^+)$  использован квадратичный метод оптимизации орбиталей с сохранением симметрии («J. Chem. Phys.», 1973, 58, 5104). Для учета дальнодействующего взаимодействия между ионом  $\text{He}^+$  и молекулой  $\text{H}_2$  использована трехконфигурац. ф-ция вида:  $\Psi = C_1\Phi_1(1\sigma^2 2\sigma) + C_2\Phi_2(1\sigma 2\sigma^2) + C_3\Phi_3(1\sigma 3\sigma^2)$ , где  $1\sigma = 1s \text{ He}$ ,  $2\sigma = 1\sigma_g \text{ H}_2$  и  $3\sigma = 1\sigma_u \text{ H}_2$ . Расчеты проведены в двухэкспонентном базисе, расширенном за счет поляризац. ф-ций на всех атомах. Согласно результатам расчетов на потенциальной поверхности при симметрии  $C_{2v}$  имеется неглубокий минимум, к-рому соответствуют след. значения параметров:  $E_b = 0,091$  эВ,

1980

$R_{\text{He}-\text{H}_2} = 2,345 \text{ \AA}$ ,  $R_{\text{H}_2} = 0,714 \text{ \AA}$ . Фундаментальная колебательная частота найдена равной для псевдодвухатомной системы 284 им. С уменьшением  $R_{\text{He}-\text{H}_2}$  по мере перехода в область сильного взаимодействия различия между  $C_{2v}$ - и  $C_{\infty v}$ -кривыми уменьшаются. Существование такого поляризаций состояния позволило предположить для столкновительного процесса иона  $\text{He}^+(1^2S)$  с молекулой  $\text{H}_2(X^1\Sigma_g^+)$  при тепловых энергиях с образованием иона  $\text{H}_2^+$  радиационного механизма с переносом заряда, независимо от наличия или отсутствия  $M$

стия 3-го тела  $M$ :  $\text{He}^+(1^2S) + \text{H}_2(X^1\Sigma_g^+) \rightarrow \text{He}^+ - \text{H}_2(2^2A_1)$ ;  $\text{He}^+ - \text{H}(2^2A_1) \rightarrow [\text{He} - \text{H}_2^+(1^2A_1)]^* + h\nu$  (153 им);  $[\text{He} - \text{H}_2^+(1^2A_1)]^* \rightarrow \text{He}(1^1S) + \text{H}_2^+(X^2\Sigma_g^+, v) + \text{КЭ}$ . Такому каналу с переносом заряда соответствует тепловая константа скорости, равная  $7,5 \cdot 10^{-14} \text{ см}^3/\text{с}$ , что делает его при низких энергиях столкновений более важным, чем хорошо известный диссоциативный канал с переносом заряда. На основании расчетов построена полная корреляционная диаграмма для  $\text{HeH}_2^+$ , показывающая особенности поверхности потенциальной энергии при тепловых столкновениях.

С. Долин

1980



4 Д66. Описание поляризационного состояния  $2^2A_1$ -  
 $(^2\Sigma^+)$  иона  $\text{HeH}_2^+$  методом МК ССП. Излучательный  
 механизм образования  $\text{H}_2^+$  при тепловых столкновениях  
 $\text{He}^+ + \text{H}_2$ . An MCSCF characterization of the  $\text{HeH}_2^+$   
 $2^2A_1(^2\Sigma^+)$  polarization state. A radiative mechanism for

the production of  $\text{H}_2^+$  from thermal  $\text{He}^+ + \text{H}_2$  collisions.  
 Норрер Даггел Г. «J. Chem. Phys.», 1980, 73, № 7,  
 3289—3293 (англ.)

Многоконфигурационным методом самосогласованного поля (МК ССП) рассчитаны потенц. кривые состояния  $2^2A_1(2^2A', 2^2\Sigma^+)$ , соответствующие налету  $\text{He}^+(1^2S)$  на молекулу  $\text{H}_2(X^1\Sigma^+)$  по траекториям симметрии  $C_{2u}$  и  $C_\infty v$ . Волн. ф-ция МК ССП включала 3 конфигурации, а базис АО представлял набор гауссовых ф-ций ( $4s2p$ ). Установлено, что состояние  $2^2A_1$  ион-молекулярного комплекса  $\text{He}^+ - \text{H}_2$  имеет минимум глубиной 0,091 эв, который характеризуется расстояниями  $R(\text{He}^+ - \text{H}_2) = 2,345 \text{ \AA}$  и  $R(\text{H}_2) = 0,714 \text{ \AA}$ . Частота норм.

расчет  
потенциал  
кривых

φ. 1981 N 4

колебания комплекса по связи  $\text{He}^+ - \text{H}_2$  составляет  $284 \text{ см}^{-1}$ . При увеличении расстояния  $R(\text{He}^+ - \text{H}_2)$  разница между энергиями состояний  $2^2A_1(C_{2v})$  и  $2^2\Sigma^+(C_{\infty v})$  уменьшается. Полученное в результате расчетов доказательство стабильности состояния  $2^2A_1$  комплекса  $\text{He}^+ - \text{H}_2$  подтверждает излучательный механизм образования  $\text{H}_2^+$  при столкновениях  $\text{He}^+$  с  $\text{H}_2$ , а также указывает на важную роль этого состояния в колебательной дезактивации молекул водорода ионами гелия.

А. Дементьев

тесс'

*HeH<sub>2</sub><sup>+</sup>*

*поменял.  
занес в  
Ридберг.  
Состоит из*

*1980*  
6 Д67. Гиперповерхность потенциальной энергии  
ридбергова состояния  $1^2\Pi(1^2B_1, 1^2A'')$  системы  $\text{HeH}_2^+$ .  
Potential energy hypersurface for the  $1^2\Pi(1^2B_1, 1^2A'')$ .  
Rydberg state of the  $\text{HeH}_2^+$  system. Норрер Даг-  
рел Г. «J. Chem. Phys.», 1980, 73, № 9, 4528—4535  
(англ.)

Многоконфигурационным методом ССП (МК ССП) проведен расчет поверхности потенц. энергии ридбергова возбужденного электронного состояния  $1^2\Pi(1^2B_1, 1^2A'')$  системы  $\text{HeH}_2^+$ . Базис АО включал наборы ( $4s2p$ ) сгруппированных гауссовых ф-ций на каждом центре, дополненные поляризационными ф-циями. В МК ССП включались все возможные собственные по спину конфигурации в заданном пространстве активных МО. В результате расчетов построены контурные карты потенц. поверхности состояния  $1^2B$ , показывающие, что данное состояние иона  $\text{HeH}_2^+$  адиабатически диссоциирует на  $\text{He}(X^1S) + \text{H}_2(C^2\Pi_u)$ ;  $\text{H}^+ + \text{HeH}(1^2\Pi)$  и  $\text{He}(X^1S) + \text{H}(1^2P) + \text{H}^+$ . Состояние  $1^2\Pi$  связано по отношению к изменению координаты  $R_{\text{He}}$ . Полученные характеристики поверхности потенц. энергии состояния  $1^2\Pi$  иона  $\text{HeH}_2^+$  предполагается использовать для интерпретации механизма процесса столкновения  $\text{He}^+$  с  $\text{H}_2$ .

А. И. Дементьев

9/1981 N6

Омск 10945

1980

$\text{HeH}_2^+$

М.Н.

контакт  
изобрет.

ж 1981 № 11

11 Б25. Гиперповерхность потенциальной энергии для ридбергова состояния  $1^2\Pi(1^2B_1, 1^2A'')$  системы  $\text{HeH}_2^+$ .  
Horreg Dargel G. Potential energy hypersurface for the  $1^2\Pi(1^2B, 1^2A'')$  Rydberg state of the  $\text{HeH}_2^+$  system:  
«J. Chem. Phys.», 1980, 73, № 9, 4528—4535 (англ.)

Проведены неэмпирич. расчеты поверхности потенциальной энергии состояния симметрии  $1^2\Pi(1^2B_1 \text{ и } 1^2A'')$  для нелинейных геометрич. конфигураций молек. иона  $\text{HeH}_2^+$ . Использован общепринятый двухэкспонентный базис сгруппированных гауссовых ф-ций, дополненный диффузными  $p$ -орбиталами. Расчеты выполнены в много-конфигурац. приближении самосогласованного поля (20 конфигураций) с послед. учетом конфигурац. взаимодействия (60 конфигураций). Результаты расчетов различных двухатомных составляющих свидетельствуют о высокой точности приближения. Построены сечения трехатомной потенциальной поверхности. Обсуждены особенности электронного строения данного ридбергова состояния. Из результатов расчетов следует, что взаимодействие  $\text{He}(X^1S)$  с  $\text{H}_2^+(C^2\Pi_u)$  характеризуется притяжением, а взаимодействие  $\text{HeH}(1^2\Pi)$  с  $\text{H}^+$  является отталкивательным.

А. В. Немухин



Ann Arbor 10945

1980

K. J. McCay,  
facets

194: 20776b Potential energy hypersurface for the  $1^2\Pi(1^2=$   
 $B_1, 1^2A'')$  Rydberg state of the helium hydride ( $\text{HeH}_2^+$ )  
system. Hopper, Darrel G. (Theor. Chem. Group, JAYCOR,  
Dayton, OH 45431 USA). *J. Chem. Phys.* 1980, 73(9), 4528-35  
(Eng.). The  $1^2\pi(1^2B_1, 1^2A'')$  state of  $\text{HeH}_2^+$  was examd. with ab  
initio electronic structure calens. The potential energy hypersurface  
for this Rydberg state was surveyed with an MCSCF/CI  
wavefunction involving orbital expansions in a double-zeta plus  
double polarization plus diffuse one-electron basis. The surface  
is essentially a trough falling monotonically from the atom-diat.  
asymptote  $\text{He}(X^1S) + \text{H}_2^+(C^2\pi_u)$ , through the triat. region, to the  
asymptote  $\text{HeH}(1^2\pi) + \text{H}^+$ . At some triat. geometries the  $1^2\pi$   
state is one of the lowest excited electronic states of this mol. ion  
system. The results obtained here are the first reported explicit  
treatment of  $\text{HeH}_2^+$  Rydberg states and contribute towards the  
elucidation of the manifolds of the lowest 2 Rydberg series  
arising from the  $(\text{HeH}, \text{H})^+$  excited asymptotes.

C. A. 1981. 94 n 4

$\text{HeH}_2^+$

1980

16.Б1077. Столкновительные методы исследования  
поверхностей потенциальной энергии возбужденных со-  
стояний системы  $\text{HeH}_2^+$ . Энергетические пороги сечений  
реакций ионов гелия с водородом, дающих в качестве  
продуктов  $\text{H}^+$ ,  $\text{H}_2^+$ ,  $\text{H}_3^+$ ,  $\text{HeH}^+$  и  $\text{H}^*(nl)$ . Jones E.  
Grant, Wu Richard L. C., Hughes B. Mason,  
Tiernan T. O., Hopper Darrel G. Collisional  
studies of the excited state potential energy surfaces of  
 $\text{HeH}_2^+$ : Energy thresholds and cross sections for reactions

столкновен.

$(\text{He}^+ + \text{H})$

обр.  
на

х. 1981. N16

of helium ions with hydrogen yielding  $H^+$ ,  $H_2^+$ ,  $H_3^+$ ,  $HeH^+$ , and  $H^*(nl)$ . «J. Chem. Phys.», 1980, 73, № 11, 5631—5645 (англ.)

Различные каналы р-ции  $He^+(1s) + H_2(X^1\Sigma_g^+, v=0)$  в диапазоне энергий столкновения 1—90 эВ исследовались методом рассеяния ионного пучка на газовой мишени с масс-спектрометрич. регистрацией ионных продуктов и спектроскопич. анализом хемилюминесцентного излучения образующихся электронно возбужденных атомов  $H^*(nl)$ . Измерения сечений выявили наличие порогов образования  $H^+$  при  $7,1 \pm 0,2$  эВ,  $HeH^+$  и  $H^*$  (21) при  $9,0 \pm 0,1$  эВ,  $H^*$  (31) при  $12,7 \pm 1,0$  эВ и  $H^*$  (41) при  $14,4 \pm 1,5$  эВ. Аналогичные р-ции исследованы также для  $D_2$ . Отмечается, что образование  $H_2^+$  и  $H_3^+$  (в ходе втор. р-ции) происходит при почти тепловых энергиях столкновения. Полученные результаты интерпретируются с использованием информации, о поверхностях потенциальной энергии полученной в неэмпирич. расчетах многоконфигурац. методом самосогласованного поля.

А. И. Маергойз

$\text{HeM}_2^+$

1981

1 Д92. Квазипериодическое движение в линейном комплексе  $\text{HeH}_2^+$ . Quasiperiodic motion in collinear  $\text{HeH}_2^+$ . Маупе Howard R., Wolf Ralph J. «Chem. Phys. Lett.», 1981, 81, № 3, 508—512 (англ.)

Движение ядер в слабосвязанном комплексе  $\text{HeH}_2^+$  исследовано в классич. приближении. При построении ядерной ф-ции Гамильтона использована поверхность потенц. энергии, рассчитанная методом двухатомных фрагментов в молекулах. Предполагалось сохранение линейной геометрии комплекса. Установлено, что переход от квазипериодич. движения ядер к иррегулярному с ростом энергии ядер происходит постепенно, причем квазипериодич. движения наблюдаются при энергиях вплоть до  $3D$  ( $D$  — энергия диссоциации  $\text{HeH}_2^+$ ). Этот результат противоречит полученным ранее с использованием модельных ф-ций Гамильтона данным, свидетельствующим о скачкообразном характере перехода от квазипериодич. движения к иррегулярному при достижении критич. значения энергии. А. В. Зайцевский

Квазипериодическое движение

9. 1982, 18, N1.

1981



94: 327710e Atoms-in-molecules calculations on diatomic fragments of polyatomic systems. Helium-hydrogen ( $HeH$  and  $HeH^+$ ). Polak, R.; Vojtik, J.; Paidarova, I.; Schneider, F. J. Uzivovsky Inst. Phys. Chem. Electrochem., Czech. Acad. Sci., 121, 1, Prague, 2 (Czech.). *Chem. Phys.* 1981, 55(2), 183-91

rb. leex.  
jaeger

(Engl.). Two different modifications of the atoms-in-molecules method were applied to various states of the  $HeH$  and  $HeH^+$  species. The calcs. were done for a wide range of internuclear separns. to obtain a description of the diat. mols. suitable for input to a subsequent DIM calcs. of potential energy surfaces for  $(HeH_2)^+$ . The results are compared with other presently available calcs.

$\text{HeH}_2^+$

Om. 16692

1983

17 Б142. Поверхности потенциальной энергии  $\text{HeH}_2^+$ , полученные методом двухатомных фрагментов в молекулах. Расчет с расширенным базисом. Diatomics-in-molecules potential energy surfaces of  $(\text{HeH}_2)^+$ , an extended basis set calculation. Schneider F., Zülicke L., Polak R., Vojtik J. «Chem. Phys.», 1983, 76, № 2, 259—269 (англ.)

Методом двухатомных фрагментов в молекулах (ДФМ) рассчитаны сечения поверхностей потенциальной энергии различных состояний системы  $\text{HeH}_2^+$  с симметрией геометрич. конфигурации  $C_\infty v$ ,  $C_{2v}$  и  $C_s$ . При построении набора многоатомных базисных ф-ций учтены структуры  $\text{He}-\text{H}^+-\text{H}$ ,  $\text{He}-\text{H}^+-\text{H}(2s)$ ,  $\text{He}-\text{H}^+-\text{H}(2p)$ ,  $\text{He}^+-\text{H}-\text{H}$ ,  $\text{He}^+-\text{H}^+-\text{H}^-$  и  $\text{He}^--\text{H}^+-\text{H}^+$ . Методом ДФМ использован в неэрмитовой формулировке с явным учетом матрицы интегралов перекрывания. Энергии двухатомных фрагментов взяты по результатам наиболее надежных неэмпирич. расчетов. Матрицы коэф. смешивания двухатомных состояний одинаковой

расчет  
поверхн.  
покерхн., E;

X. 1983, 19, N 17

симметрии построены на основании оценочных расчетов методом атомов в молекулах. Рассмотрены два варианта приближения: метод ДФМ без варьируемых параметров и вариант с введением подгоночных параметров в коэф. смешивания. Во втором варианте удалось подобрать параметры так, чтобы согласовать результаты метода ДФМ и неэмпирич. расчетов  $\text{HeH}_2^+$ . В первом же варианте погрешности приближения в области взаимодействия доходят до 0,1—1 эВ, что делает проблематичным применение приближения ДФМ для колич. описания энергии взаимодействия при образовании молекул.

А. В. Немухин

П/С

$(\text{HeH}_2)^+$

Om. 16692

1983

10 Д61. Поверхности потенциальной энергии  $[\text{HeH}_2]^+$ , рассчитанные методом двухатомных фрагментов в молекуле. Расчеты с расширенным базисным набором. Diatomics-in-molecules potential energy surfaces of  $(\text{HeH}_2)^+$ : an extended basis set calculation. Schneid F., Zülicke L., Polák R., Vojtík J. «Chem. Phys.», 1983, 76, № 2, 259—269 (англ.)

С использованием расширенного базисного набора в рамках неэрмитовской формулировки метода двухатомных фрагментов в молекуле (ДФМ) рассчитаны поверхности потенц. энергии (ППЭ) основного и нижних возбужденных состояний системы  $(\text{HeH}_2)^+$ . Размерность симметризованного по спину и пространственным координатам базисного набора равнялась 13, а исходные кривые потенц. энергии двухатомных фрагментов выбирались либо в аналитич. виде, либо интерполяцией сплайнами, но так, чтобы они максимально соответствовали наиболее точным неэмпирич. дан-

расчет  
и. п.

90.1983, 18, N10

ным. Подробно рассматривается влияние выбора ф-ций смешивания валентных структур двухатомных фрагментов на ППЭ всей системы. Результаты сравниваются с данными неэмпирич. расчетов. Отмечается, что выбор коэф. смешивания на основании ограниченных по базису расчетов по методу валентных схем или по методу атомов в молекулах приводит к достаточно точным результатам, хотя детали ППЭ, в частности угловая зависимость или величины расщеплений в местах квазипересечений, могут быть и неточными.

А. А. Зембеков



$\text{HeH}_2^+$

Om - 16692

1983

98: 222197g Diatomics-in-molecules potential energy surfaces of the helium-hydrogen ion ( $(\text{HeH}_2)^+$ ): an extended basis set calculation. Schneider, F.; Zuelicke, L.; Polak, R.; Vojtik, J. (Cent. Inst. Phys. Chem., Acad. Sci. GDR, 1199 Berlin-Adlershof, Ger. Dem. Rep.). *Chem. Phys.* 1983, 76(2), 259-69 (Eng). Within the framework of the non-hermitean DIM formulation of Tully and Truesdale, (1976), and using 13 symmetry-adapted polyat. basis functions, ground-state and excited-state potential energy surfaces for  $(\text{HeH}_2)^+$  were calcd. Whereas the global shape of the potential energy surfaces is obtained in reasonable agreement with existing ab initio data, at least if scaling is introduced, there are marked differences in the details, e.g. the angular dependences and the splitting of the first and second excited-state potential energy surfaces. The dependence of the results on mixing parameters and scaling as well as implications concerning the predictive power of the DIM method are discussed.

(romers.  
notebook.)

c.A. 1983, 98, N26

$(\text{HeH}_2)^+$

cm. 22406 1985

2 Д78. Неэмпирический расчет диабатических пересекающихся поверхностей молекулярного иона  $(\text{HeH}_2)^+$ . Ab initio determination of the diabatic multicrossing pattern in the  $(\text{HeH}_2)^+$  molecular ion. Kubach C., Cougbin-Gaussorgues C., Sidis V. «Chem. Phys. Lett.», 1985, 119, № 6, 523—528 (англ.)

Предложен метод для получения количеств. информации о диабатич. пересекающихся поверхностях. Рассматриваются состояние с возбуждением остова  $(1a', 2a'_2)^2A'$  и  $(1a'^2v)^2A'$ ,  $^2A''$  серии Ридберга трехатомного иона  $(\text{HeH}_2)^+$ . «Квазидиабатические» одноконфигурац. ф-ции составлялись из МО (метод ССП для  $1a'$  и  $2a'$  и схема улучшенных виртуальных орбиталей для возбужденных МО). Применялись техника проекционного оператора и расчеты в рамках метода взаимодействия конфигураций. Рассчитанные положения точек пересечения согласуются с эксперим. энергетич. порогами образования  $\text{H}^+$  и эмиссии фотонов из состояний  $\text{H}^*$  ( $n=2$ ) и  $\text{H}^*$  ( $n=3$ ). (Wn R. L. C., Hopper D. G. «Chem. Phys.», 1981, 57, 385).

Г. К.

ab initio  
пример

cf. 1986, 18, № 2

$(\text{HeH}_2)^+$

Om. 22406 1985

З Б1077. Неэмпирическое определение пересекающейся системы диабатических термов для молекулярного иона  $(\text{HeH}_2)^+$ . Ab initio determination of the diabatic multicrossing pattern in the  $(\text{HeH}_2)^+$  molecular ion. Kubach C., Courbin-Gaussorgues C., Sidis V. «Chem. Phys. Lett.», 1985, 119, № 6, 523—528 (англ.). ISSN 0009—2614

Предложен неэмпирич. метод расчета диабатич. термов возбужденных состояний молек. иона  $(\text{HeH}_2)^+$ . Все такие термы получают из терма основного состояния  $\text{He}(1^1S) + \text{H}_2^+(1s\sigma_g)$  переносом электрона с He на  $\text{H}_2^+$ , либо ридберговым возбуждением иона  $\text{H}_2^+$ . Метод состоит в построении функций указанных термов из одного набора самосогласованных орбит, к-рые обеспечивают для 2 указанных подсистем термов выполнение ряда общих требований метода ССП. Конкретные рас-

м.н., служк  
тира

X. 1986, 19, N 3

четы выполнены для фиксированного расстояния между протонами при различных расстояниях  $R$  от Не до центра иона  $\text{H}_2^+$  и углах  $\gamma$  между вектором  $R$  и осью молекулы  $\text{H}_2$  в базисе гауссовых функций ( $10s+5p$ ) на каждом центре. Отмечено образование потенциальных ям для ридберговых состояний в треугольной конфигурации и сильно отталкиват. характер термов системы  $\text{He}^+-\text{H}_2$  для обеих конфигураций. Качественно обсуждены х-ки пересечений термов. Е. Е. Никитин

$\text{HeH}_2^+$

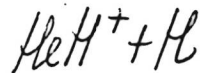
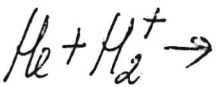
Mr. 22406

1985

/ 103: 183906n Ab initio determination of the diabatic multicrossing pattern in the helium-hydrogen molecular ion ( $\text{HeH}_2^+$ ). Kubach, C.; Courbin-Gaussorgues, C.; Sidis, V. (LCAM, Univ. Paris-Sud, 91405 Orsay, Fr.). *Chem. Phys. Lett.* 1985, 119(6), 523-8 (Eng). A method is presented for obtaining quant. information on the pattern of diabatic-potential-surface multicrossing that involves the core-excited state ( $1a'$ ,  $2a'^2$ )  $^2A'$  and the ( $1a'^2\nu$ )  $^2A'$ ,  $^2A''$  Rydberg series of the ( $\text{HeH}_2^+$ ) triat. ion. Quasi-diabatic single-configuration state functions were built from judiciously generated MOs (balanced SCF treatment of  $1a'$  and  $2a'$  and the improved-virtual-orbital scheme for the excited MO). By using the projection-operator technique of T. F. O'Malley (1969), the configuration states that describe different characteristics were grouped into subspaces where CI calcns. were performed. The salient features of the potential-energy surfaces for various geometries are discussed.

romeths. no -  
lexplosms,  
Meop. palen

C.A.1985, 103, N 2r2



roberge,  
ionenes.  
freeman,  
ab initio  
pacem

Om. 26332

1987

Joseph T, Sathyamurt-  
hy N,

J. Chem. Phys., 1987,  
86, N2, 704-714.

$\text{HeH}_2^+$

(M. 29779)

1987

108: 227210r Long-range potentials of polyatomic molecular ions. Murrell, J. N. (Sch. Chem. Mol. Sci., Sussex Univ., Falmer/Brighton/Sussex, UK BN1 9QJ). *Mol. Phys.*, 1987, 62(6), 1403-8 (Eng). The potential energy surface of  $\text{HeH}_2^+$  is used to illustrate the factors that arise when there is a degeneracy in the electronic states of the charged fragments at dissociation limits. At short H-H distances the pos. charge is shared equally between the 2 atoms. At large H-H distances, but 1 short H-He distance, the charge resides on 1 of the H atoms. These limits and intermediate situations, affect the induction and dispersion contributions on the  $\text{HeH}_2^+$  potential energy surface.

homologs.  
no replacement

C.A.1988, 108, N26

$\text{HeH}_2^+$

от 29779

1987

№ 21 Б1114. Дальнодействующие потенциалы многоатомных молекулярных ионов. Long-range potentials of polyatomic molecular ions. Миггелл J. N. «Mol. Phys.», 1987, 62, № 6, 1403—1408 (англ.)

На примере потенциальной Пв  $\text{HeH}_2^+$  проанализирован характер дальнодействующего Пт взаимодействия в молек. ионе при наличии вырожденных электронных состояний заряженного фрагмента на диссоциац. пределе. При малых расстояниях Н—Н заряд поровну распределен между двумя атомами водорода. При больших расстояниях Н—Н и малых расстояниях Не—Н заряд сосредоточен на одном из атомов Н. Показано влияние этих предельных ситуаций на индуц. и лисперсионный вклады в энергию взаимодействия Не и  $\text{H}_2^+$ . Сделан вывод о сильном влиянии вырожденности электронного состояния молек. иона на характер его дальнодействующего потенциала.

А. А. Сафонов

Х. 1988, 19, № 21

$H_2 He^+$

Lam. 28755

1987

KONIGAN -  
GRAUER -  
ZPROKU

Tennyson J., Mil-  
ler J.,

J. Chem. Phys., 1987,

87, N 11, 6648 - 6652.

*HeH<sub>2</sub><sup>+</sup>*

1990

16 Б1050. Неэмпирические потенциальные поверх-

ности молекулы  $\text{HeH}_2^+$  и неадиабатические взаимодействия между ними: Ab initio  $(\text{HeH}_2)^+$  energy surfaces and nonadiabatic couplings between them / Furlan Richard J., Bent Gary, Russek Arnold // J. Chem. Phys.—1990.—93, № 9.—С. 6676—6684.—Англ.

Усредненным по состояниям вариантом многоконфигурац. метода ССП с последующим полным учетом конфигурац. взаимодействия рассчитаны адиабатич. потенц. поверхности (ПП) трех нижних электронных состояний (1, 2, 3  $^1\text{A}$ ) молекулы  $\text{HeH}_2^+$  и связывающие их неадиабатич. матричные элементы. Использованный метод расчета гарантирует одинаковую точность ПП всех трех состояний. Обнаружены конические точки пересечения ПП 2- и 3-го состояний в области  $K \sim 3,0$  ат. ед. и 1- и 2-го состояний в области  $R \sim 1,2$  ат. ед., где  $R$  — расстояние He—H<sub>2</sub>. ПП и неадиабатич. матричные элементы вычислены на достаточ-

*M.N.*

X. 1991, N 16

но густой сетке точек в пространстве колебат. переменных, что позволяет вычислить их в любой внутренней точке с помощью сплайн-интерполяции.

В. Б. Павлов—Веревкин



$(HeH_2)^+$

1990

114: 12548v Ab initio dihydrohelium(1+) ( $(HeH_2)^+$ ) energy surfaces and nonadiabatic couplings between them. Furlan, Richard J.; Bent, Gary; Russek, Arnold (Phys. Dep., Univ. Connecticut, Storrs, CT 06269 USA). *J. Chem. Phys.* 1990, 93(9), 6676-84 (Eng). The energy surfaces of the three lowest adiabatic states of the  $(HeH_2)^+$  triat. mol. system have been calcd. ab initio as functions of all three variables describing the triat. geometry, using the ERLJHU set of quantum-chem. programs. The procedure is described by the acronym SA-MCSCF/CI, for state-averaged multiconfiguration self-consistent-field calcn., followed by a full CI calcn. In addn. the nonadiabatic matrix elements which couple these adiabatic states have been calcd. Results have been obtained on a sufficiently fine mesh for interpolation by a spline-fit program to produce energy differences and nonadiabatic coupling matrix elements over the full mesh required for collisional excitation problems of  $He^+$  on  $H_2$  and  $H_2^+$  on  $He$  involving these states.

pacem M.N.  
83<sup>x</sup>-metmpoh  
COCMoHeHueX

c.A.1991, 114, N2

Pd Ru<sup>+</sup>

1992

Aguado F., Paniagua M.,

J. Chem. Phys. 1992, 96(2),

ROMERS.  
phi-mel.  
ab initio  
param

1265 - 75.

(all. H<sub>3</sub> ; II)

$[\text{HeH}_2]^+$

1992

117: 1188953 Potential energy surfaces describing ion complexes containing molecular hydrogen. Ischtwan, Josef; Smith, Brian J.; Collins, Michael A.; Radom, Leo (Res. Sch. Chem., Aust. Natl. Univ., Canberra, 2601 Australia). *J. Chem. Phys.* 1992, 97(2), 1191-210 (Eng). High-level ab initio MO calcns. have been carried out to describe the potential energy surfaces for a series of systems corresponding formally to dimer ions of mol. hydrogen with an inert-gas atom or a first- or second-row hydride  $[\text{X:H}_2]^+$ , where X = He, Ne, Ar, Kr, HF, HCl,  $\text{H}_2\text{O}$ ,  $\text{H}_2\text{S}$ ,  $\text{NH}_3$ , and  $\text{PH}_3$ . Of the  $[\text{XH}_2]^+$  ion complexes,  $[\text{Ne:H}_2]^+$ ,  $[\text{Ar:H}_2]^+$ ,  $[\text{Kr:H}_2]^+$ , and  $[\text{HFH:H}]^+$  lie in wells of significant depth and should be exptl. observable. The energetics of ion-mol. reactions assocd. with the  $[\text{XH}_2]^+$  systems have been examd. in detail. The reactions include proton- and hydrogen-transfer reactions and hydrogen-exchange reactions. Pathways and transition structures for scrambling of hydrogen atoms within the  $[\text{XH}_2]^+$  complexes, some of which are relevant to the exchange reactions, have also been detd.

(75)

~~✓~~



C.A. 1992, 117, N 12

$\text{HeH}_2^+$

1993

i18: 110099b Accurate fit of the two lowest excited-state potential-energy surfaces for doublet dihydrohelium(1+)( $\text{HeH}_2^+$ ). Aguado, Alfredo; Suarez, Cristina; Paniagua, Miguel (Fac. Cienc., Univ. Auton. Madrid, Madrid, Spain 28049). *J. Chem. Phys.* 1993, 98(1), 308-15 (Eng). Diabatic potential-energy functions for the two lowest excited states of the doublet  $\text{HeH}_2^+$  system which fit published *ab initio* data (McLaughlin and Thompson, 1979) at a quant. level were obtained, similar to that obtained previously for the ground state (root-mean-square error about 1 kcal/mol), and without any quantity of *ad hoc* character, preserving the accuracy of the *ab initio* points. The corresponding adiabatic potential-energy functions were obtained by solving a  $2 \times 2$  determinant that uses the diabatic energies and an interaction term fitted to the lowest eigenvalue to obtain a global root mean square as low as possible (0.93 kcal/mol). The lowest adiabatic potential-energy function satisfies the criteria needed to be used in full three-dimensional scattering calcns. for the collisionally-induced predissocn. charge-exchange reaction  $\text{He}^+ + \text{H}_2 \rightarrow \text{He} + \text{H}^+ + \text{H}$  and, using the ground-state potential-energy surface also, the collision-induced dissociation reaction  $\text{H}_2^+(r) + \text{He} \rightarrow \text{He} + \text{H}^+ + \text{H}$  and the exoergic reaction  $\text{He}^+ + \text{H}_2 \rightarrow \text{HeH}^+ + \text{H}$ .

10 Methyl. no -

Refluxing

C.A. 1993, 118, N 12

$\text{HeH}_2^+$

1995

123: 123667p Potential energy function and reaction dynamics for the  $\text{HeH}_2^+$  system. (I). Analytical potential function of the ground state for  $\text{HeH}_2^+$ . Huang, Zheng; Xie, Hongping; Jiang, Dongling; Zhu, Zhnghe (Inst. Atomic Mol. Phys., Sichuan Union Univ., Chengdu, Peop. Rep. China 610065). Yuanzi Yu Fenzi Wuli Xuebao 1995, 12(2), 151-5 (Ch). The equil. geometry, dissocn. energy, and harmonic force consts. for  $\text{HeH}_2^+$  ( $X^2\Sigma^+$ ) were calcd. based on CID/6-31G using Gaussian 92. The anal. potential energy function of  $\text{HeH}_2^+$  was then derived by many-body expansion method.

NOTES  
JULY OCTOBER  
COMPLETED

C.A. 1995, 123, N10

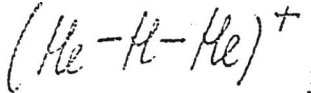
$\text{HeH}_2^+$

1995

123: 68683p Ab initio predicted rotation-vibration energy levels of  $\text{HeH}_2^+$ . Spirko, V.; Kraemer, W. P. (Max-Planck-Inst. Astrophys., D-85740 Garching, Germany). *J. Mol. Spectrosc.*, 1995, 172(1), 265-74 (Eng). The potential energy function of the ground electronic state of  $\text{HeH}_2^+$  is calcd. at the multireference CI level of ab initio theory, using a MO basis optimized in an appropriate multiconfiguration SCF procedure. Energies of all rotational-vibrational bound states of  $\text{HeH}_2^+$  and  $\text{HeD}_2^+$  are detd. variationally from a diagonalization of the full dimensional Sutcliffe-Tennyson Hamiltonian for triat. mols. The results obtained at the present high-accuracy level differ significantly from those of previously published calcns. They are used to assess the reliability of an adiabatic approxn. in which the high-frequency  $\text{H}_2^+$  stretching vibration is sepd. from the remaining motions. For all bound vibrational levels of  $\text{HeH}_2^+$ , good agreement between the results from the adiabatic approxn. and the rigorous full dimensional calcn. is obtained.

at initio  
raesem  
kon. p. ylabru  
hepmill

c.a.1995, 123, n6



1998

129: 281276p The ground state of  $(\text{He}-\text{H}-\text{He})^+$  from correlated ab initio calculations. Komasa, J.; Rychlewski, J. (Department of Chemistry, A. Mickiewicz University, 60-780 Poznan, Pol.). *Pol. J. Chem.* 1998, 72(7, Suppl.), 1353–1360 (Eng), Polish Chemical Society.  $\text{He}_2\text{H}^+$  ion in its ground state is studied by means of ab initio methods taking into account the electron correlation. Geometry optimization at the CCSD(T)/cc-pV5Z level of theory has been performed and the potential energy hypersurface scan is presented. The optimum conformation is linear and sym. with the proton at the He–He midpoint and the He–H distance equal to 1.75 bohr. Stabilization energy with respect to the  $\text{He}_2\text{H}^+ \rightarrow \text{HeH}^+ + \text{He}$  dissociation channel has been computed. Addnl., a single point variational calcns. with the use of the exponentially correlated Gaussian wave functions have been performed. They supply an upper bound to both the total electronic energy (-5.903505 hartree) and the stabilization energy (-13.224 kcal/mol). A comparison of the results from both the perturbational coupled cluster and variational methods is presented.

OCTOBER  
20 NOVEMBER,  
ab initio  
racem

C. A. 1998, 129, N 21

$\text{HeH}_2^+$

1998

128: 236420z Ab initio calculated rotation-vibration line strengths for the ( $v_{\text{HH}} = 0 - 1$ ) transition of  $\text{HeH}_2^+$ . Kraemer, W. P.; Jurek, M.; Spirko, V. (Max-Planck-Institute of Astrophysics, D-85740 Garching, Germany). *J. Mol. Spectrosc.* 1998, 187(2), 206-209 (Eng), Academic Press. The purely vibrational transitions and their line strengths in the bond state of  $\text{HeH}_2^+$  ions were calcd. and a comparison between full-dimensional calcns. and adiabatic sepn. scheme was carried out. The spectroscopic consts. such as rotational const., rotational distortion const. and spin statistical wts. are reported.

Frankfurt  
u K鰈n  
NOCM

C.A. 1998, 128, N19

$\text{HeH}_2^+$

1998

129: 267128k Adiabatic separations of the vibrational motions in  $\text{HeH}_2^+$  and the calculation of metastable states. Spirko, V.; Jurek, M.; Kraemer, W. P. (J. Heyrovsky Institute of Physical Chemistry, Academy of Sciences of the Czech Republic, Prague, Czech Rep. CZ-18223/8). *Pol. J. Chem.* 1998, 72(7, Suppl.), 1389–1397 (Eng), Polish Chemical Society. Recent ab initio calcd. potential energy data for the ground electronic state of  $\text{HeH}_2^+$  were used to construct a new potential function, which is suitable to describe the interaction between He and  $\text{H}_2^+$  at low collision energies. All bound and the lowest quasi-bound rotation-vibrational levels of  $\text{HeH}_2^+$  are evaluated within the framework of the Sutcliffe-Tennyson Hamiltonian for triat. mols. neglecting Coriolis interactions between the states. Adiabatic sepns. of the vibrational motions were used to simplify the calcns. of the bound and quasi-bound levels close to the dissocn. limit. Comparison with the results of full-dimensional calcns. shows that a very good agreement was obtained when sepg. adiabatically the high-frequency  $\text{H}_2^+$  stretching motion from the remaining two low-frequency modes and that further sepn. of the low-frequency motions still provides useful approxns. for the positions of the bound and lowest quasi-bound states.

HANDBOOK  
M. COCM.

C.A. 1999, 129, N20.